

V-45 光弾性によるL型ラーメン隅角部の応力解析

神奈川県工業試験所 正会員 戸塚 学

1. 目的。本研究はL型鉄筋コンクリート構造(RC構造)の引張縫に主筋が配置されたラーメンに垂直荷重が作用した場合、隅角部、およびその附近の部材の応力解析を行ない主筋の引張応力に対する効果、柱、梁などに曲げ亀裂が先行した時の応力再配分などを求め、引張応力による亀裂発生断面の位置、値などの確認をする為に行なった。実験法としてはRC構造に類似をした供試体で2次元光弾性実験法を行い、その内容としては1) 無亀裂時、2) 柱に曲げ亀裂発生時、3) 柱に最終曲げ亀裂発生後、梁に曲げ亀裂発生時などの3段階に分けて行なった。

2. 供試体、荷重作用方法。コンクリート部材には常温硬化のエポキシ樹脂、主筋としては直径2mmのアルミの丸棒を使用した。供試体形状は柱、梁の断面高さ

(D)を等しくし、隅角部構成条件はハンチ無しとした。第1

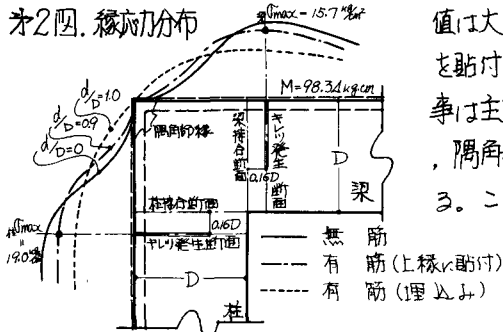
第1表. 断面性質。 $P_c = A_c f_c$, $A_E = \text{等価断面積}$

$A_c \text{ cm}^2$	$A_t \text{ cm}^2$	$P_c \text{ %}$	$E_c \text{ GPa}$	$E_s \text{ GPa}$	$\epsilon_{c,0} \text{ %}$	$A_E \text{ cm}^2$	$\eta \text{ cm}$	$I \text{ cm}^4$
3.35	0.032	0.94	205×10^3	700×10^3	34.15	4.52	2.97	10.15

四、第1表に供試体寸法、荷重作用方法を示す。

3. 実験内容、および考察。1) 無亀裂時、(1). 縦引張応力。その一例を第2図に示す。最大値は梁、柱共にその接合断面より $0.16 \times D$ の位置に生じる。この分布の傾向は無筋と比較して隅角部縫での

第2図. 縦応力分布



値が大きくなる。また図中の---の分布は引張縫にアルミ板を貼付けた場合であるが、この傾向はつきりする。この事は主筋の配置条件としての位置が η の比が1.0に近づくと、隅角部縫にかなり大きな引張応力が生じるものと考えられる。この σ_{max} の実験、算定値の比較を第2表に示す。この算

第2表. 縦応力値の比較, $M_{梁} = \sigma_{max} \cdot I_{梁} / \text{算定用モーメント}$

$M \text{ kg cm}$	$M_{梁} \text{ kg cm}$	$\sigma_{max} \text{ kg/cm}^2$	$I_{梁} \text{ cm}^4$
98.34	83.44	15.7	19.0

定式はコンクリート部材の引張応力を考慮して断面の釣合式より求めた(1), (2)式による。 σ_{max} の算定

$$\text{梁} \sigma_{max} = \frac{M_{梁}}{I} (D - \eta) \quad (1), \quad \text{柱} \sigma_{max} = \frac{M}{I} (D - \eta) - \frac{P}{A_c} \quad (2)$$

用の $M_{梁}$ は P 奥から梁接合断面までの距離を用いた。この比較により隅角部附近に生じる縫の σ_{max} に対する主筋の効果(押縫通り)であると考えて良い。(2). 内部応力。從来隅角部内の亀裂発生断面と考えられている対角線断面(0~B)と柱、梁などに曲げによる最終亀裂時に不利な状態となる

第3表. 対角線断面の σ_{max} の比較。

	$M \text{ kg cm}$	(1)の範囲 (B真り)	$\sigma_{max} \text{ kg/cm}^2$	$\sigma_{max} \text{の値}$ %	$\sigma_{max} \text{の係数}$ %
無筋	98.34	0.81 $D_{梁}$	0.50 $D_{梁}$	13.1	100
有筋	98.34	0.57 $D_{梁}$	0.285 $D_{梁}$	10.8	83
福田式	98.34	0.66 $D_{梁}$	0.41 $D_{梁}$	14.9	114

福田式による算定との比較を表1に示す(福田式も無筋)。この無筋の光弾性と比較して(1)の作用範囲は30%, σ_{max} の値も17%減少している。この減少値が隅角線断面にあける主筋の効果と考えられる。表4表に隅角部内の梁の σ_{max} との比較を示す。引張による亀裂発生の

表4表 各 σ_{max} の比較

予想位置を求めれば、隅角部内においては30方角断面上の主筋位置よりかぶり厚さ位内側に入った所であり、隅角部内の引張亀裂発生位置は30方角断面上である。

2). 柱に曲げ亀裂発生時。柱の外縁の σ_{max} の位置に曲げ亀裂発生を仮定し順次所要の亀裂長さまで余りで切込んだ。その亀裂長さを表1に示す。この最終亀裂長さは主筋位置から $\frac{1}{2}d$ とした。(1). 縦引張応力。柱に曲げ亀裂が発生し、その長さが増大すると、それに伴って σ_{max} の値が非常に増大する。この増大の傾向を表1図のグラフに示す。その梁 σ_{max} の分布の一例

梁 σ_{max}	柱 σ_{max}	0~B σ_{max}	0~A σ_{max}	0~C σ_{max}
100%	122%	67%	87%	88%

表3図 内部引張応力分布

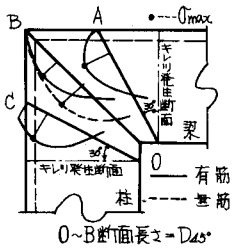
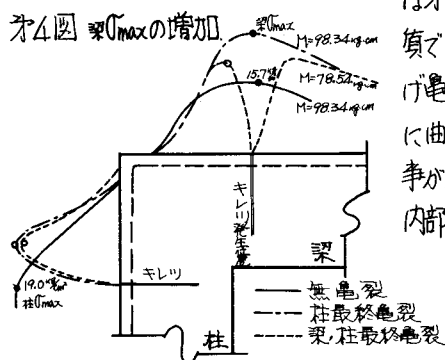
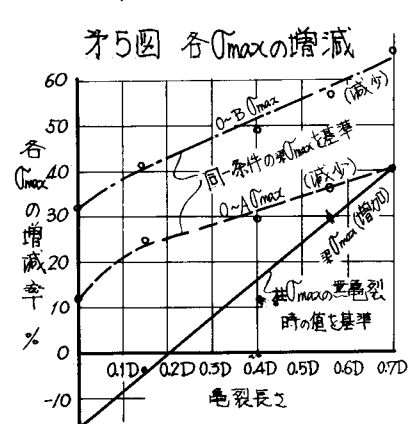


表4図 σ_{max} の増加



は表4図に示す。この表1図のグラフからこの実験での傾向性

質では、柱に $0.2D$ の曲げ亀裂が発生すると梁に曲げ亀裂が発生する事が考えられる。(2). 内部応力。対角線断面の(1)の分布の傾向、 σ_{max} の値は無亀裂時



と大体同一とみられる。この事から柱に曲げ亀裂が発生してもこの断面に対する主筋効果は無亀裂時とほぼ同一であると

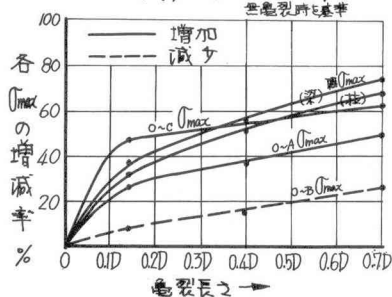
推定出来る。前記の如くこの時亀裂長さが増大する事によって梁 σ_{max} の値が増大するが、この値の作用位置に近い0~A断面の σ_{max} の値も増大する。これらの0~B, 0~A断面上の σ_{max} の値と、同一亀裂長さ時での梁 σ_{max} との値との比較を表1図の---, ---の線で示す。各 σ_{max} の値は初期亀裂が発生すると梁 σ_{max} に対して若干大きな減少率をみせらるが、その後亀裂長さの増大に伴って順次直線的に減少傾向となり、最終亀裂時では梁 σ_{max} の値に対して0~B, 0~A断面の σ_{max} の値は35%, 60%前後の値になる。また梁の曲げ亀裂発生時を柱の曲げ亀裂長さで $0.2 \times D$ とすると、0~B, 0~A断面の σ_{max} の値はその梁の亀裂発生応力 σ_{max} の値に対しての比率がそれぞれの断面上で57%, 75%であるので梁の曲げ亀裂発生以前に隅角部内での引張亀裂発生を考えられない事が明らかに確認される。この時の内部応力分布の解析の一例を表6図に示す。

3). 柱に最終曲げ亀裂発生後、梁に曲げ亀裂発生時。柱に $\frac{1}{2}d$ の長さの曲げ亀裂発生後、梁に順次曲げ亀裂発生を仮定した状態での応力解析を行なう、その(1)の分布の一部を表7図に示す。この亀裂発生位置は柱と同じく梁接合断面から $0.16 \times D$ の所である。(1). 縦引張応力。隅角部縦の分布は亀裂発生長さの増大に伴って勿論その値も増加するが、その σ_{max} の位置は梁、柱側共にB奥へ近づく傾向が

みられる。この時も初期亀裂発生と同時にこの σ_{max}

(はや)急速に大きくなる。これを第8図のグラフ

第8図、各 σ_{max} の増減

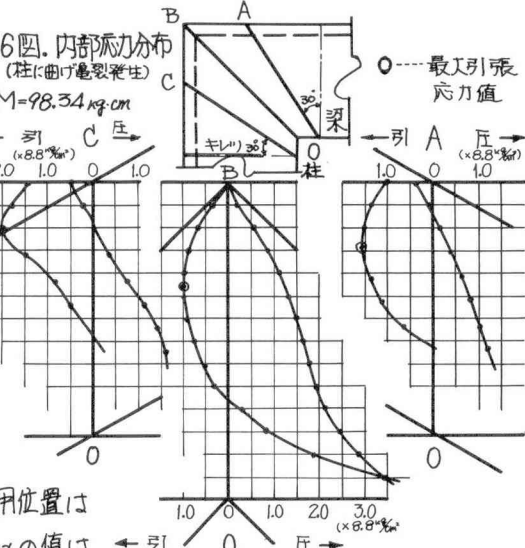


オ6図、内部応力分布
(柱に曲げ亀裂発生)

に表わす。

$M=98.34 \text{ kg/cm}$

この様に隅
角部筋での
側の増加は
30方向断
面での σ_{max}
の値が大き
くする条件



の一つとなる。(2). 内部応力。この亀裂発生条件

での対角線面では側の分布の作用範囲、 σ_{max} の作用位置は
大きくなりBより $0.71 \times D_{45}$, $0.43 \times D_{45}$ となる。この σ_{max} の値は

梁での曲げ亀裂長さの増大と共に減少の傾向がみられる

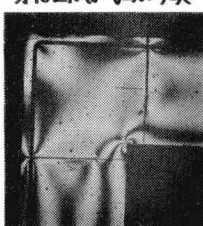
。30方向断面上での σ_{max} の値は反対に増加する。この増
加の理由として(a), 前記の如く隅角部筋での側の増加。

(b), その断面上にあら主筋近傍での $(\sigma_1 - \sigma_2)$ の値の増加。

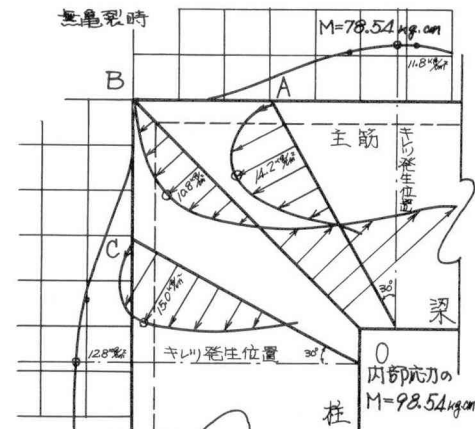
(c), 主応力方向が亀裂長さの増大によって制約され、そ
の断面上に同一方向の主応力面が近づいてくる事などによ
る。この事は主応力線図から確認される。第8図に無
亀裂時にに対する各 σ_{max} の増減率を示すが、初期亀裂発生
に伴うそれらの増減率は大きい。2)の項でもみらるる如
く初期亀裂発生と同時に各側の値の増減率の大きい事は
、応力再配分は亀裂先端が主筋を越えると同時に大きく
行なう事を意味しているものと考えられる。

4. 結論。この実験の範囲から次の事が考えられる。

1). 無亀裂時での主筋の側に対する効果は様、対角線断
面上でみられるが、2つの30方向断 第10図.(a)-(b)の写真
面上に大きな側を生じる。2). 柱に
曲げ亀裂の発生は同時に梁での亀裂
発生の原因となる。3). 柱、梁に最
終曲げ亀裂発生後、隅角部内での引
張亀裂の発生位置は2つの30方向断



面となる。この研究について日頃御協力願っておる早稲田大学の神山教授、首都高速道路公团の津野
、泉、オリエンタルコンサルタントの清野、横溝の各氏、並びにこの実験を担当しておる当時の椎野
氏に深謝を表します。(参考文献は紙面の都合で省略)



オ7図、各 σ の
分布

$M=78.54 \text{ kg/cm}$

